

地盤内の地震動垂直分布

運輸省港湾技術研究所 正員 ○荒井秀夫, 中沢定男, 北島誠治
運輸省第2港湾建設局 岩瀬守義

1. はじめに

土や構成されている地盤内における地震動などのようなものであるかを知つておくことは、地盤内の構造物の耐震性を検討する上に必要であり、ボーリング孔内に設置される地中地震計が開発されこれから地盤内の地震動を観測した研究が数多くなされてきている。われわれは、地震や地盤の相違による地盤内の地震動に関する資料を積み重ねることを目標に、港湾施設の基礎地盤を対象として地盤内の地震動を観測している。今回は、地盤の異なる 5ヶ所の観測地点における地震動の垂直分布を調べた結果を報告する。

2. 観測の概要

観測地点は東京都辰巳排水機場構内、船橋市千葉県葛南土木事務所構内、名古屋市名古屋港管理組合港湾事務所構内、大阪市港湾局第1建設事務所構内、横須賀市久里浜港畔野外実験場構内の 5ヶ所である。観測地点の地盤状態は、速度検層から求めた横波速度を表すと図.1 に示すようである。久里浜の他の 4ヶ所の地盤には、深さ約 3m, 20m, 50m, 90m は TUSS 型といわれて上下、水平 2 成分の地震計接振器を、久里浜では鳴式地震計接振器の水平 2 成分のみを地表、深さ約 5m, 10m, 15m, 20m の地盤内に設置した。両型式の接振器とも固有振動数 $f_{0s} = 5 \text{ Hz}$, 減衰常数 $h_s = 10 \sim 20$ であって、抵抗減衰器を通してカルバメーターの固有振動数 $f_{0g} = 100 \text{ Hz}$ (TUSS 型), 50 Hz (鳴式) の電磁オシログラフに接続した。これら地震計の振動数特性は図.1 に示すようなものであって、記録振幅は 1 ~ 6 Hz 程度の地震動に対して地震動加速度に比例しないが、約 3 Hz より離れた地震動に対して位相差が生ずる。感度は TUSS 型で約

1 mm/gal, 鳴式で約 0.8 mm/gal である。

3. 観測した地震動

各観測地点において観測した地震のうち、記録振幅の最も大きいものを選んで解析した。その地震は下記の通りである。

東京： 1973 年 12 月 22 日,

千葉県中部の地震,

深さ 70 km

船橋： 1973 年 3 月 27 日,

東京湾南部の地震,

深さ 70 km

名古屋： 1973 年 11 月 25 日,

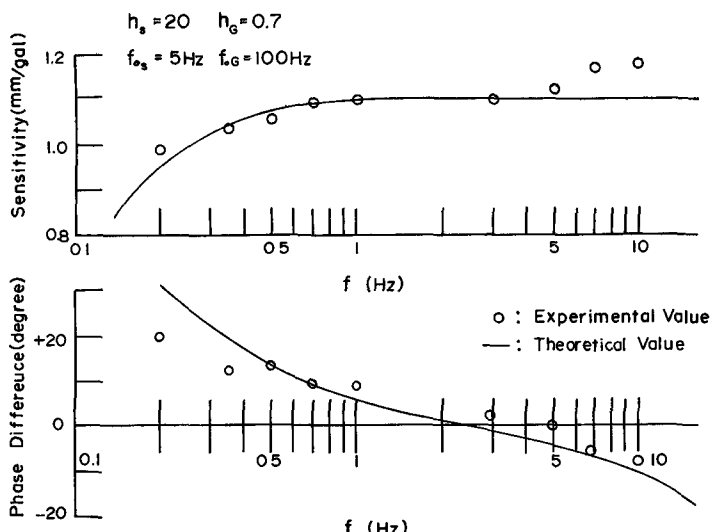


図.1 地中地震計振動数特性の例

和歌山県中部の地震,
深さ 40 km

大阪：1973年9月21日，

奈良県西部の地震

深さ 10 km

久里浜：1967年11月10日，

千葉県中部の地震，

深さ 80 km

観測した地震の最大動の地盤内における分布を図2の印で示す。上下動は比較的小く、水平動は横波速度 V_s が大きいところが大きくなる傾向がみられる。

観測した地震波形の代表例として東京のEW成分と図2の実線で示す。主震動波は地盤の下部から上方に伝わる傾向がある。

地盤内で地震動がどのように増幅されるかを調べるために、

地震波形 $\phi(t)$ の Fourier スペク

トル $F(f)$ を求めると、図3～6に最も深い観測点 90 m における波形の $F(f)$ を $2\pi f$ で除した速度波形のスペクトルに相当するものと、3 m, 20 m, 50 m における $\phi(t)$ の 90 m におけるスペクトル $[F(f)]_{90}$ に対する比をとったものを示す。図には EW 成分のみ示したもの、NS 成分も同じ傾向のものである。90 m の深さでは上層に比べてかなり剛性が高いため、上層の地震動による影響が比較的小く、仮説である速度スペクトル一定の条件が成立しやすいものと思われる。名古屋の場合も除いて、速度スペクトルが一定に近い傾向を示しているが、名古屋のようないくつかの例もあるので、地震にも関係するものは各々と考慮されねばならない。現段階では速度スペクトルが一定であることを確認するまでは至っていない。スペクトル比をみると、東京、名古屋、大阪では低振動数の地震動が増幅され易く、船橋では幾分高い振動数の地震動が増幅され易い傾向があることが認められる。このことは、図2の地盤内における横波速度の分布を参照することによって、東京、名古屋、大阪では上層に厚い軟弱な地盤が存在するのにに対して、船橋では比較的厚く硬い層が中層に存在することによるものと推定される。

4. 重複反射理論による地盤内地震動の推定

地表において観測した地震動から、重複反射理論によつて地盤内地震動を推定することはかかるべく、推定した地震動と観測から得られた地震動を比較してみる。計算に当つて、地表における地震動

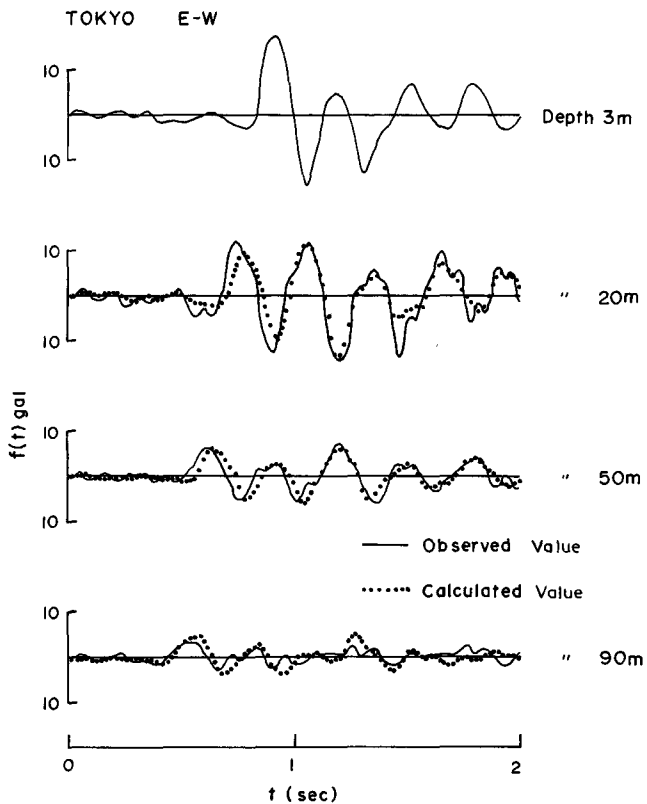


図2 地震波形の例

として深さ 3 m を観測した。地震動を用い、地盤内を垂直方向に横波が伝わるものと仮定する。また、地盤内の横波速度は図 7 の点線で示されているものとし、地盤の密度は単位体積質量の測定から求めたものを用い、地盤の減衰は無視するものと仮定する。

このような仮定の下に計算した地震波形の例として東京の EW 成分を図 3 の点線で示す。この例は比較的單純な波形であるため、最もよく観測波形と一致した場合であるが、大部分の場合、この例のようには一致しない。次に計算した地震動の最大動とより、その分布を図 7 の折線で示す。計算値と観測値とは、ほぼ同様の傾向を示している。

5. 結論

種々の地盤内における観測した地震動を記述した後には通常年々が、地盤内における地震動を観測するにはどうか、多くの地盤につれて、有益な情報を得ることはできるようと思われる。

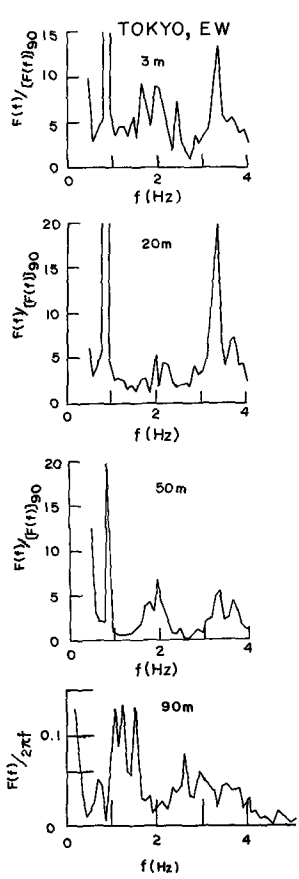


図.3

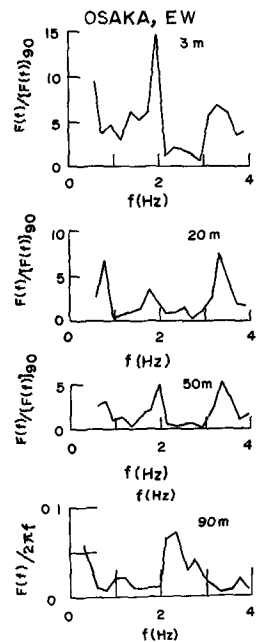


図.4

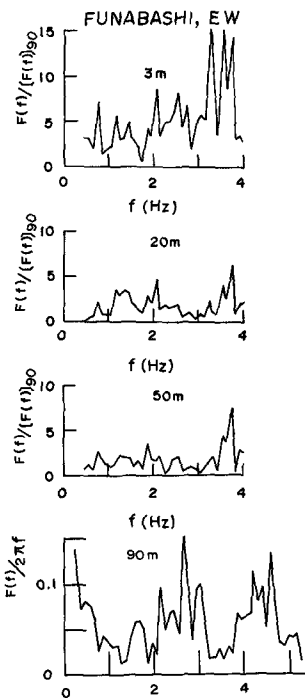


図.5

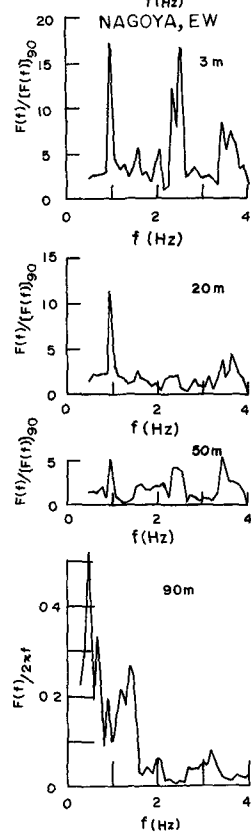


図.6

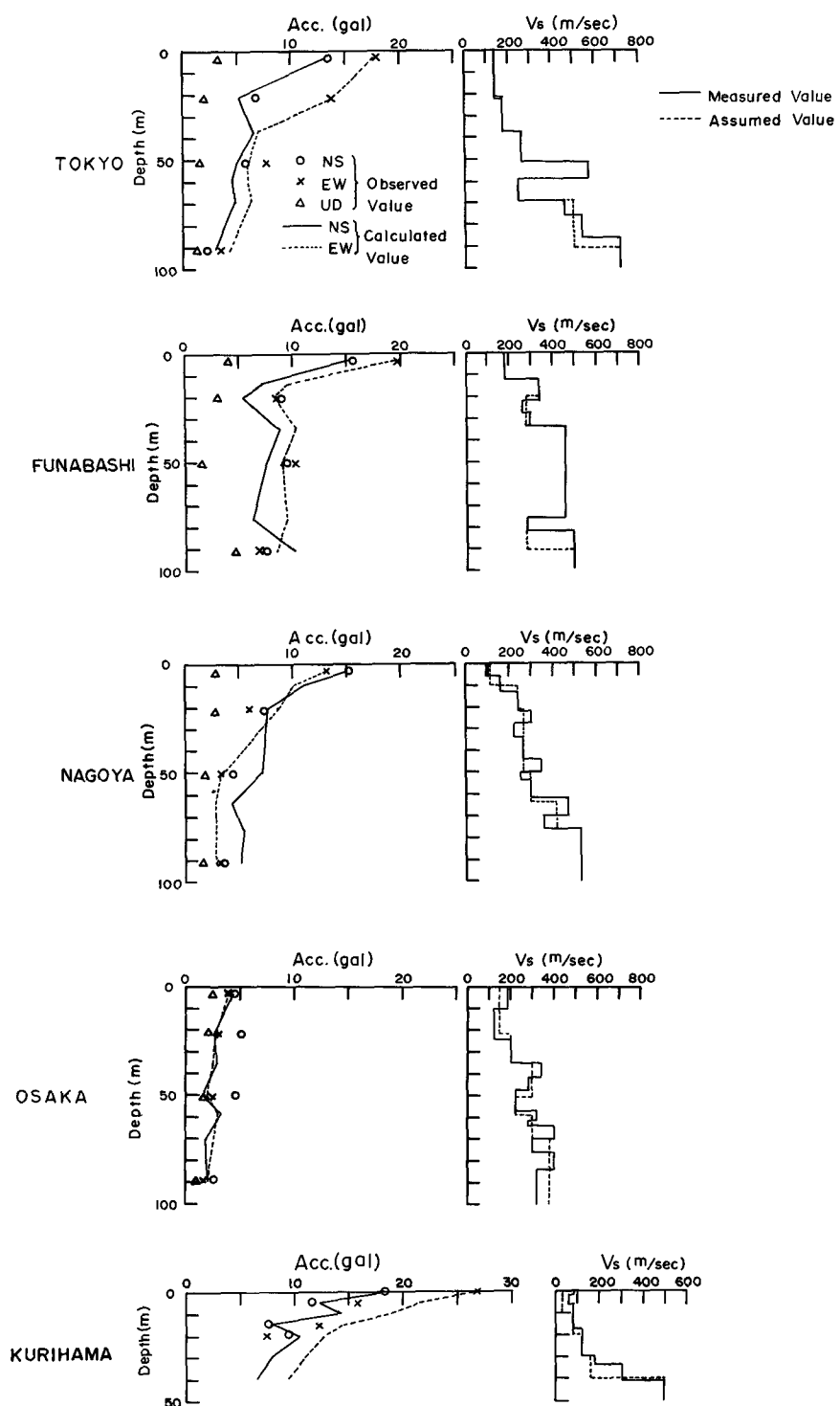


図7 地盤内における最大動の分布